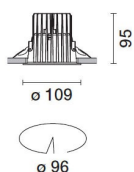


Configurazione di prodotto: MV92

MV92: incasso circolare fisso - Ø 96 mm - warm white - ottica medium - UGR<19



MV92: incasso circolare fisso - Ø 96 mm - warm white - ottica medium - UGR<19

Apparecchio rotondo fisso finalizzato all'utilizzo di sorgente LED con tecnologia C.o.B. Versione con falda per installazione ad appoggio. Riflettore metallizzato con vapori di alluminio sottovuoto con strato di protezione antigraffio. Corpo in alluminio pressofuso e sistema di dissipazione passiva. Prodotto completo di LED in tonalità di colore warm white (3000K). Emissione luminosa luce generale con luminanza controllata UGR<19 1500 cd/m² α=65° ottica medium.

Ad incasso tramite molle di torsione che consentono una facile installazione su controsoffitti con spessore a partire da 1 mm fino a 20 mm.

| | |
|-----------------------|------------------|
| Colore | Peso (Kg) |
| Bianco/Alluminio (39) | 0.65 |

Montaggio
incasso a soffitto

prodotto completo di alimentatore DALI

Soddisfa EN60598-1 e relative note



| | | | |
|--|------|------------------------------------|---------------------------------|
| Im di sistema: | 1129 | CRI (minimo): | 80 |
| W di sistema: | 11.9 | Temperatura colore [K]: | 3000 |
| Im di sorgente: | 1550 | MacAdam Step: | 2 |
| W di sorgente: | 9.3 | Life Time LED 1: | > 50,000h - L90 - B10 (Ta 25°C) |
| Efficienza luminosa (lm/W, dati di sistema): | 94.9 | Codice lampada: | LED |
| Im in modalità emergenza: | - | Numero di lampade per vano ottico: | 1 |
| Flusso totale emesso a 90° o superiore [Lm]: | 0 | Codice ZVEI: | LED |
| Light Output Ratio (L.O.R.) [%]: | 73 | Numero di vani ottici: | 1 |
| Angolo di apertura [°]: | 24° | Control: | DALI-2 |

| | | | | | |
|---|---|------------|-----------|-------------|--|
| | Imax =3514 cd CIE nL 0.73 97-100-100-100-73 UGR 16.3-16.3 DIN A.61 UTE 0.73A+0.00T F*1=973 F*1+F*2=999 F*1+F*2+F*3=1000 CIBSE LG3 L<1500 cd/m² at 65° UGR<19 L<1500 cd/mq @65° | Lux | | | |
| | h | d | Em | Emax | |
| | 2 | 0.9 | 685 | 878 | |
| | 4 | 1.7 | 171 | 220 | |
| | 6 | 2.6 | 76 | 98 | |
| 8 | 3.4 | 43 | 55 | | |

Coefficienti di utilizzazione

| R | 77 | 75 | 73 | 71 | 55 | 53 | 33 | 00 | DRR |
|------|----|----|----|----|----|----|----|----|-----|
| K0.8 | 65 | 61 | 59 | 57 | 61 | 58 | 58 | 56 | 77 |
| 1.0 | 68 | 65 | 62 | 61 | 64 | 62 | 62 | 59 | 81 |
| 1.5 | 72 | 69 | 67 | 66 | 68 | 67 | 66 | 64 | 88 |
| 2.0 | 74 | 72 | 71 | 70 | 71 | 70 | 69 | 67 | 92 |
| 2.5 | 75 | 74 | 73 | 72 | 73 | 72 | 71 | 69 | 95 |
| 3.0 | 76 | 75 | 75 | 74 | 74 | 73 | 73 | 71 | 97 |
| 4.0 | 77 | 76 | 76 | 75 | 75 | 75 | 74 | 72 | 99 |
| 5.0 | 78 | 77 | 77 | 76 | 76 | 76 | 74 | 73 | 100 |

Curva limite di luminanza

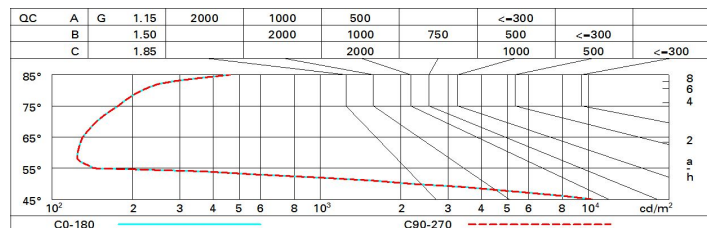


Diagramma UGR

| Corrected UGR values (at 1550 lm bare lamp luminous flux) | | | | | | | | | | |
|--|------|---------------------|------|------|------|------|-------------------|------|------|------|
| Reflect.: ceiling walls work pl. Room dim x y | | 0.70 | 0.70 | 0.50 | 0.50 | 0.30 | 0.70 | 0.70 | 0.50 | 0.50 |
| | | 0.50 | 0.30 | 0.50 | 0.30 | 0.30 | 0.50 | 0.30 | 0.50 | 0.30 |
| | | 0.20 | 0.20 | 0.20 | 0.20 | 0.20 | 0.20 | 0.20 | 0.20 | 0.20 |
| | | viewed crosswise | | | | | viewed endwise | | | |
| 2H | 2H | 17.1 | 18.8 | 17.5 | 19.1 | 19.4 | 17.1 | 18.8 | 17.5 | 19.1 |
| | 3H | 17.0 | 18.3 | 17.4 | 18.6 | 18.9 | 17.0 | 18.3 | 17.4 | 18.6 |
| | 4H | 16.9 | 18.1 | 17.3 | 18.4 | 18.7 | 16.9 | 18.1 | 17.3 | 18.4 |
| | 6H | 16.8 | 18.0 | 17.2 | 18.3 | 18.7 | 16.8 | 18.0 | 17.2 | 18.3 |
| | 8H | 16.8 | 17.9 | 17.2 | 18.3 | 18.6 | 16.8 | 17.9 | 17.2 | 18.3 |
| | 12H | 16.7 | 17.8 | 17.1 | 18.2 | 18.6 | 16.7 | 17.8 | 17.1 | 18.2 |
| 4H | 2H | 16.9 | 18.1 | 17.3 | 18.4 | 18.7 | 16.9 | 18.1 | 17.3 | 18.4 |
| | 3H | 16.7 | 17.8 | 17.1 | 18.2 | 18.6 | 16.7 | 17.8 | 17.1 | 18.2 |
| | 4H | 16.6 | 17.6 | 17.0 | 18.0 | 18.5 | 16.6 | 17.6 | 17.0 | 18.0 |
| | 6H | 16.4 | 17.7 | 16.9 | 18.1 | 18.6 | 16.4 | 17.7 | 16.9 | 18.1 |
| | 8H | 16.3 | 17.7 | 16.8 | 18.2 | 18.6 | 16.3 | 17.7 | 16.8 | 18.2 |
| | 12H | 16.1 | 17.7 | 16.6 | 18.2 | 18.7 | 16.1 | 17.7 | 16.6 | 18.2 |
| 8H | 4H | 16.3 | 17.7 | 16.8 | 18.2 | 18.6 | 16.3 | 17.7 | 16.8 | 18.2 |
| | 6H | 16.1 | 17.6 | 16.6 | 18.1 | 18.6 | 16.1 | 17.6 | 16.6 | 18.1 |
| | 8H | 16.1 | 17.4 | 16.6 | 17.9 | 18.4 | 16.1 | 17.4 | 16.6 | 17.9 |
| | 12H | 16.2 | 17.1 | 16.7 | 17.6 | 18.1 | 16.2 | 17.1 | 16.7 | 17.6 |
| 12H | 4H | 16.1 | 17.7 | 16.6 | 18.2 | 18.7 | 16.1 | 17.7 | 16.6 | 18.2 |
| | 6H | 16.1 | 17.4 | 16.6 | 17.9 | 18.4 | 16.1 | 17.4 | 16.6 | 17.9 |
| | 8H | 16.2 | 17.1 | 16.7 | 17.6 | 18.1 | 16.2 | 17.1 | 16.7 | 17.6 |
| Variations with the observer position at spacing: | | | | | | | | | | |
| S = | 1.0H | 4.4 / -22.6 | | | | | 4.4 / -22.6 | | | |
| | 1.5H | 7.2 / -22.8 | | | | | 7.2 / -22.8 | | | |
| | 2.0H | 9.2 / -23.1 | | | | | 9.2 / -23.1 | | | |